

電氣泳動法에 의한 靈芝버섯 系統의 特性

朴元穆·李鎔世·金晟會·朴容煥*

高麗大學校 農科大學 植物保護學科·農村振興廳 農業技術研究所*

Characterization of Isolates of *Ganoderma lucidum* by Electrophoretic Patterns of Enzymes

Won Mok Park, Yong Se Lee, Seong Hoe Kim and Yong Hwan Park*

Department of Plant Protection, College of Agriculture, Korea University, Seoul 140, and

Institute of Agricultural Sciences,* Suwon 170, Korea

Abstract: Isozyme patterns of leucine aminopeptidase, esterase and protein from 16 isolates of *Ganoderma lucidum* were observed by electrophoresis for characterization of the isolates. Even in the same isolate, the patterns of the isozymes from mycelium and cap were different. The esterase patterns from the mycelium could differentiate the isolates. Of 16 isolates, four isolates showed identical patterns. It was assumed that these had the same genetic background.

Keywords: *Ganoderma lucidum*, Isozyme pattern, Esterase, Leucine aminopeptidase.

靈芝버섯 *Ganoderma lucidum* (Fr.) Karst. 은 옛부터 灵藥이라 하여 漢方에 利用되어 왔으며 不老草 혹은 萬年버섯 등으로 불려왔다.

최근 灵芝는 健康食品으로 관심이 증대됨에 따라 化學成分 및 藥效 등에 관한研究가 행해지고 있으며 이에 따른 人工栽培가 확산되고 있다(Woo, 1984).

人工栽培時 灵芝의 形態는 扁角과 鹿角 등 다양하지만 遺傳 및 分類에 관한研究는 미진하여 系統의分化 조차 명확히 밝혀지지 않은채 栽培되고 있는 실정이다.

一般的으로 버섯의 分類는 外的인 形態와 色等에 의하여 可能하나 灵芝는 同一 菌株내에서도 形態가 다른 扁角, 鹿角 그리고 中間 形態가 同時に 形成되는 성질이 있기 때문에 形態에 의한 分類는 어려움이 있다. 따라서 形態와 生化學的 分類法의 병행이 요구된다.

生物體의 酶素가 몇개의 서로다른 分子型 즉 同位酶素로 存在하고 있음이 밝혀진 以來 電氣泳動法은 遺傳因子의 1次 產物인 酶素蛋白質을 分析함으로서 동물(Hubby 등, 1966), 식물(Green 등, 1981), 미생물(Baptist 등, 1969; Gill 등, 1978; Glynn 등, 1969; Kulik 등, 1970)의 分類 및 集團遺傳(Kim 등, 1982; Nakagahra 등, 1975)에 利用되어 왔다.

本 實驗은 電氣泳動法을 利用하여 灵芝버섯 菌株間

의 蛋白質과 同位酶素의 pattern을 比較하여 分類 및 遺傳研究의 기초자료를 얻고자 시도하였다.

材料 및 方法

菌株

菌株는 韓國과 日本에서 수집한 16菌株를 農業技術研究所 菌草科에서 분양받아 使用하였다.

各菌株의 수집원은 Table I과 같다.

菌絲의 培養

modified Czapek dox medium 50 ml를 250 ml elen- myer flask에 담은 後 菌絲培養을 過程하여 28°C incubator에서 14日間 酸性 배양 하였다. modified Czapek dox medium의 조성은 NaNO_3 1.0 g, K_2HPO_4 1.0 g, $\text{MgSO}_4 \cdot 7\text{H}_2\text{O}$ 0.5 g, KCl 0.5 g, peptone 5.0 g yeast extract 1.5 g, malt extract 10.0 g, $\text{CuSO}_4 \cdot 5\text{H}_2\text{O}$ 0.005 g, FeSO_4 0.01 g, $\text{ZnSO}_4 \cdot 7\text{H}_2\text{O}$ 0.01 g, distilled water 1,000 ml 이다.

子實體形成

톱밥배지에 자란 灵芝버섯의 종균을 7月末에 모래에 심어 진홍청 栽培方式에 의하여 子實體로 形成시켰다.

酶素抽出

Table I. Collected area of *Ganoderma lucidum*.

| Sample No. | Isolate No. | Area |
|------------|-------------|-----------------|
| 1 | 7118 | Japan |
| 2 | 7101 | Japan |
| 3 | 7006 | Japan |
| 4 | 7117 | Japan |
| 5 | 7096 | Japan |
| 6 | 7061 | Japan |
| 7 | 7109 | Japan |
| 8 | 7060 | Korea, Gyeonggi |
| 9 | 7112 | Korea, Seoul |
| 10 | 7029 | Korea, Gyeonggi |
| 11 | 7079 | Japan |
| 12 | 7095 | Japan |
| 13 | 7066 | Japan |
| 14 | 7119 | Japan |
| 15 | 7113 | Japan |
| 16 | 7110 | Japan |

子實體의蛋白質抽出은子實體를 잘게 잘라 2g을 취한後 8ml의 0.1M Tris-HCl buffer (pH7.5)를 첨가하여 Ultra-Turrax(Janke & Kunkel IkaWerk)를 使用 4°C에서 20,000 rpm으로 1分間 마쇄하였다. 이것을 고속 냉동 원심 분리기에서 4°C, 12,000 g로 30分間 회전시킨後 상등액을 電氣泳動試料로 使用하였다.

菌絲의蛋白質抽出은 액체배양된菌絲를 büchner funnel(Wattmann No. 3)에서 0.1M Tris-HCl buffer (pH 7.5)로 씻어내면서 거른後菌絲生體重의 1배 (w/v)의 0.1M Tris-HCl buffer (pH 7.5)를 첨가하여 유발을 使用 4°C에서 마쇄하였다. 이것을 고속냉동원심분리기에서 4°C, 12,000 g로 30分間 회전시킨後 상등액을 試料로 취하였다.

電氣泳動法

panta-phor system으로 분리 gel은 10~25% polyacrylamide porosity gradient slab gel을 使用하였다. continuous buffer system으로 gel buffer와 tray buffer는 0.125 M Tris-borate (pH 8.9)를 使用하였다. slot 당 試料는 100 μl (μl/μg protein)을 넣었다. 電氣泳動은 10°C에서 400 V로 20시간 실시하였다.

發色法

蛋白質: 電氣泳動後 gel을 발색액에 (800 ml H₂O, 200 ml methanol, 70 ml acetic acid, 60 g trichloroacetic acid, 25 ml 1% Coomassie brilliant blue R 250)에 침적하여 1시간 경과後 탈색액(H₂O : methanol : acetic acid=3:7:1)에 12시간 침적하였다(Glynn 등, 1969).

esterase 同位酵素: gel을 0.1 M Tris-HCl buffer (pH 7.2)에 30分間 침지하였다. 이때 10分 간격으로 buffer를 3회 갈아주며 gel의 산도를 조정하였다. 35°C의 발색액(α-naphthylacetate 60 mg, fast blue RR salt 70 mg, 0.1 M Tris-HCl buffer (pH 7.2) 120ml)에 침적하여 band가 명확하여질 때까지 발색하였다(Kahler 등, 1970).

leucine amino peptidase(LAP): gel을 발색액(120 ml Tris-malate buffer (pH 5.4), 50 ml distilled water, 15 mg fast black K salt, 20mg L-leucyl-B-naphtylamide HCl)에 30分間 침적하여 어두운 곳에서 발색하였다(Green 등, 1981).

유사도 지수: 同位酵素 band pattern에 의해 Stout (Stout 등, 1974)의 方式으로 $\frac{\text{동일 band 수}}{\text{총 band 수}} \times 100$ (%)를 구하였다.

結 果

子實體形態比較

子實體形態는菌株 1번, 13~16번은鹿角形態이고, 2~12번은扁角形態이었다. 扁角에서는 Table II와 같이 균첨과 줄기의 경계, 갓의 모양, 표면상태, 두께 등이 다양하였다.

子實體蛋白質 패턴

子實體蛋白質 pattern은 major band 1, 2는 유사한 위치에서 보였다. 그러나各菌株間은 6, 7, 8菌株에서 band 3과 5, 13~16菌株는 band 4와 7 3, 4, 5菌株는 band 6, 3~8菌株間에는 band 8에서 구별할 수 있었다(Fig. 2).

子實體 Esterase 同位酵素 Pattern

3, 4, 5菌株間에는 band 2, 3, 6, 8, 9, 10에서 유사하며,

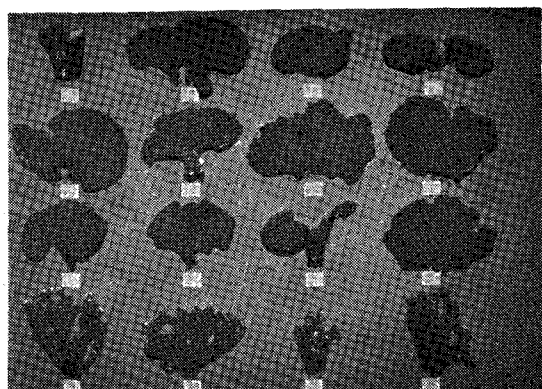


Fig. 1. Morphology of *Ganoderma lucidum* fruit bodies.

Table II. Characteristics of *Ganoderma lucidum* isolates.

| | | 1 | 2 | 3 | 4 | 5 | 6 | 7 | 8 | 9 | 10 | 11 | 12 | 13 | 14 | 15 | 16 | |
|---------------------------|--------------|---|---|---|---|---|---|---|---|---|----|----|----|----|----|----|----|---|
| Shape of pileus | Plane | | ○ | ○ | ○ | ○ | ○ | ○ | ○ | ○ | ○ | ○ | ○ | ○ | ○ | ○ | | |
| | Clavaria | ○ | | | | | | | | | | | | | | ○ | ○ | ○ |
| Attachment | Adnexed | | | ○ | ○ | ○ | | | | ○ | | ○ | ○ | | | | | |
| | Subdecurrent | ○ | | | | | | | | | | | ○ | | | | | |
| Shape of margin | Decurrent | | | | | | | ○ | ○ | ○ | | | | | | | | |
| | Entire | | ○ | ○ | | | | | | | | ○ | | | | | | |
| | Crisped | ○ | | | | ○ | | | | ○ | ○ | | | | | | | |
| Texture of pileal surface | Undulating | | | | | | ○ | ○ | ○ | | | | | ○ | | | | |
| | Smooth | ○ | ○ | ○ | ○ | | | | | ○ | ○ | ○ | | | | | | |
| | Wrinkled | | | | | | | ○ | ○ | ○ | | | | ○ | | | | |
| Thickness of pileus | Thick | | ○ | ○ | ○ | ○ | | | | ○ | ○ | ○ | | | | | | |
| | Thin | | | | | | ○ | ○ | ○ | | | | ○ | | | | | |

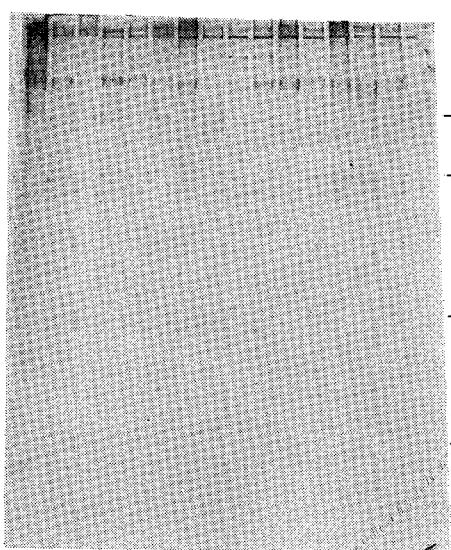


Fig. 2. Buffer soluble protein in cap of *Ganoderma lucidum* on 10~25 % polyacrylamide porosity gradient slab gel.
1~16: Sample number.

6, 7, 8 菌株間에서는 band, 1, 3, 4, 6, 7, 9, 10에서 13~16
菌株들은 band 2, 3, 4, 5, 6, 9, 10, 11에서 유사한 것을 볼
수 있다(Fig. 3).

同一菌株에서 同時に 扁角, 鹿角 및 中間形態의 子
實體가 形成된 系統 2, 6, 9번의 形態別 子實體와 菌絲
에서 esterase pattern을 관찰하였던 바, 同一菌株에서
는 비록 子實體 모양은 달랐어도 子實體의 esterase

patten은 동일하였다. 그러나 子實體와 菌絲間에는
esterase pattern의 차이가 있었다(Fig. 4).

菌絲의 蛋白質 및 Esterase, LAP 同位酶素 Pattern

菌絲의 蛋白質 pattern은 Fig. 5와 같다. 菌株間의

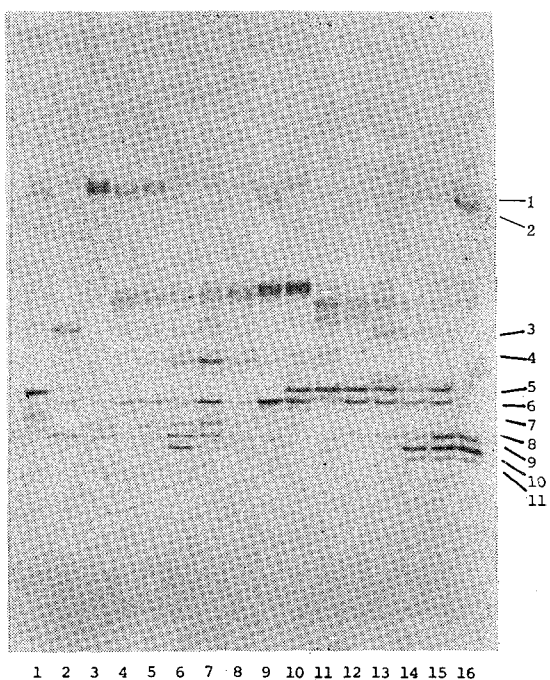


Fig. 3. Isozyme patterns of esterase in cap of *Ganoderma lucidum* on 10~25 % polyacrylamide porosity gradient slab gel.
1~16: Sample number.

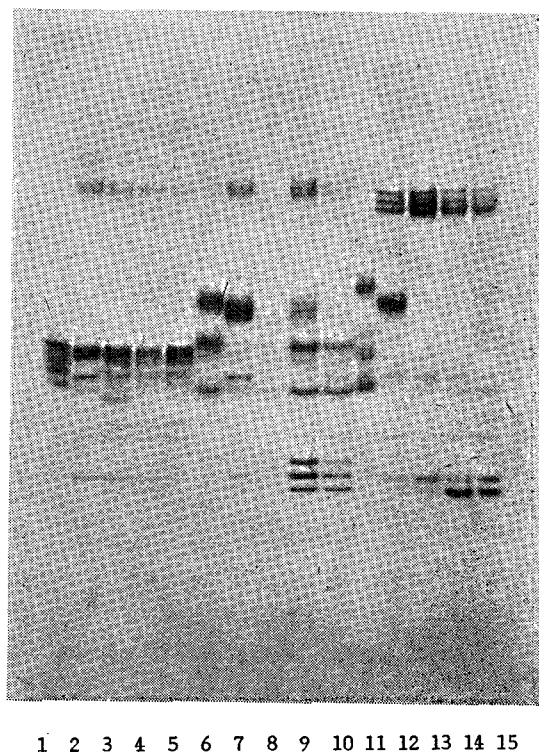


Fig. 4. Isozyme patterns of esterase in fruit body of *Ganoderma lucidum* on 10~25% polyacrylamide porosity gradient slab gel.

1~5: Isolate number 2, 6~10: Isolate number 6, 11~15: Isolate number 9.

Mycelium: 1, 6, 11; Fresh fruit body: 2, 7, 12;

Dried plane: 3, 8, 13; Dried middle shape

between plane and clavaria: 4, 9, 14; Dried

clavaria: 5, 10, 15.

major band 1, 2는 모두 유사하였으나 minor band에서 13~16번菌株는 band 4, 5, 7, 6, 7번菌株는 band 3, 4, 6이 유사하여菌株間의 특징을 나타낼 수 있다.

菌絲의 esterase同位酵素 pattern은 모든菌株들이 band 1, 3, 4를 가지고 있지만 13~16번菌株에서 band 5, 7, 9, 11이 6, 7번菌株는 band 2, 6, 10이 특징으로 나타남을 Fig. 6에서菌株間 차이를 보여주었다.

菌絲 LAP同位酵素 Pattern은菌株 13~16번이 band 3에서, 6, 7번菌株는 band 4에서 다른菌株와의 차이를 보이고 있고, Fig. 7에서菌株間 특징을 보였다.

菌絲의 esterase와 LAP同位酵素 band pattern을 Stout(1974)의方式에 의해 유연관계를 알아보았다.菌株 13~16번은 100%, 6, 7번 100% 유연관계가 높았고, 5번과 13번菌株間은 12.5%로 유연관계가

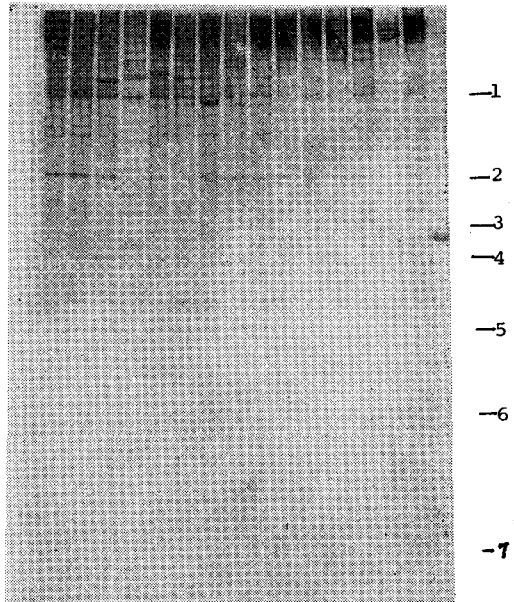


Fig. 5. Buffer soluble protein in mycelium of *Ganoderma lucidum* on 10~25% polyacrylamide porosity gradient slab gel.
2~16: Sample number, 17: Marker protein.

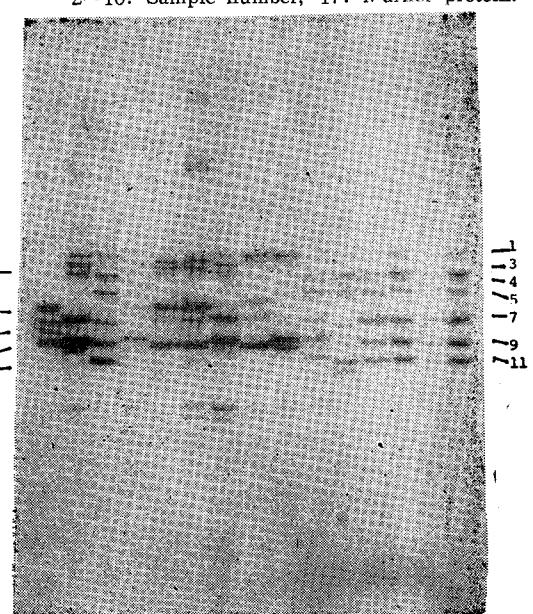


Fig. 6. Isozyme patterns of esterase in mycelium of *Ganoderma lucidum* on 10~25% polyacrylamide porosity gradient slab gel.
2~16: Sample number.

Table III. Similarity of esterase and LAP isozyme bands between isolates of *Ganoderma lucidum*.

| | 2 | 3 | 4 | 5 | 6 | 7 | 8 | 9 | 10 | 11 | 12 | 13 | 14 | 15 | 16 |
|----|---|------|------|------|------|-------|------|------|------|------|------|------|------|------|-------|
| 2 | — | 22.2 | 18.7 | 13.3 | 40.0 | 40.0 | 23.5 | 28.5 | 28.5 | 30.7 | 13.3 | 28.5 | 28.5 | 28.5 | 28.5* |
| 3 | | — | 34.7 | 20.0 | 55.5 | 55.5 | 68.7 | 60.0 | 50.0 | 38.8 | 37.5 | 60.0 | 60.0 | 60.0 | 60.0 |
| 4 | | | — | 16.6 | 22.7 | 22.7 | 21.7 | 31.5 | 13.6 | 29.4 | 31.2 | 57.1 | 57.1 | 57.1 | 57.1 |
| 5 | | | | — | 29.4 | 29.4 | 35.2 | 17.6 | 26.6 | 20.0 | 13.3 | 12.5 | 12.5 | 12.5 | 12.5 |
| 6 | | | | | — | 100.0 | 50.0 | 43.7 | 43.7 | 37.5 | 22.2 | 46.6 | 46.6 | 46.6 | 46.6 |
| 7 | | | | | | — | 50.0 | 43.7 | 43.7 | 37.5 | 22.2 | 46.6 | 46.6 | 46.6 | 46.6 |
| 8 | | | | | | | — | 56.2 | 64.2 | 35.3 | 29.4 | 35.3 | 35.3 | 35.3 | 35.3 |
| 9 | | | | | | | | — | 42.8 | 33.3 | 35.7 | 53.8 | 53.8 | 53.8 | 52.8 |
| 10 | | | | | | | | | — | 53.8 | 26.6 | 33.3 | 33.3 | 33.3 | 33.3 |
| 11 | | | | | | | | | | — | 46.1 | 53.8 | 53.8 | 53.8 | 53.8 |
| 12 | | | | | | | | | | | — | 58.3 | 58.3 | 58.3 | 58.3 |
| 13 | | | | | | | | | | | | — | 100 | 100 | 100 |
| 14 | | | | | | | | | | | | | — | 100 | 100 |
| 15 | | | | | | | | | | | | | | — | 100 |
| 16 | | | | | | | | | | | | | | | — |

$$* \frac{\text{Same band}}{\text{Total band}} \times 100(\%)$$

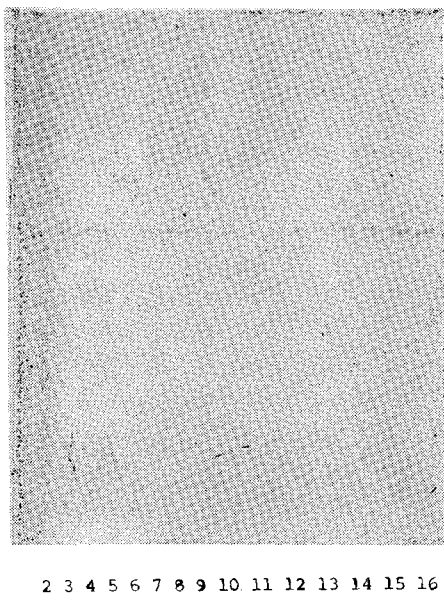


Fig. 7. Isozyme patterns of LAP in mycelium of *Ganoderma lucidum* on 10~25% polyacrylamide porosity gradient slab gel.
2~16: Sample number.

가장 낮았다. 기타 菌株間에도 유연정도의 차이를 볼 수 있다(Table III).

— 1

考 察

電氣泳動法을 利用한 同位酵素 패턴 比較는 形態로
써 分類가 어려운 동물, 식물, 미생물 등의 分類에 많
이 利用되고 있다. 즉 초파리(Hubby 등, 1966), 보리
(Kahler 등, 1970), *Phytophthora* spp.(Gill 등, 1978),
Aspergillus spp.(Kulik 등, 1970), 세균 (Baptist 등,
1969)의 分類 등에서 좋은 結果들이 보고되었다.

本 實驗은 電氣泳動法을 利用하여 靈芝버섯 各 菌株
間의 蛋白質 및 同位酵素의 패턴 比較로 各 菌株別 系
統과 特性을 알아보았다.

使用菌株別 子實體의 形態는 크게 扁角과 鹿角 두가
지로 分類 할 수 있었으며 扁角形態를 가진 菌株間에
서도 것의 모양과 균형과 버섯대와의 경계부분의 모양
등에 의한 形態別 차이가 있어서 子實體의 蛋白質과
esterase 同位酵素 패턴을 알아보았다.

扁角과 鹿角間에는 뚜렷한 차이가 있었으며 鹿角形
態를 하였던 13, 14, 15, 16번 菌株間에는同一한 패턴을
보였다. 扁角形態를 하였던 菌株間에는 변이가 있어
특정 band의 有・無와 位置에 의해 各 菌株의 特性을
比較 할 수 있었다. 子實體의 形態가 유사 하였던 3,
4, 5번과 6, 7, 8번 菌株들은 서로 유사한 band 패턴을

보였다.

同一菌株에서 扁角과 鹿角形態의 子實體가 同時に 形成되었던 2, 6, 9번의 形態別 子實體의 esterase 패턴은 서로同一한 패턴을 보였으며 이것은 遺傳的인 변이이다. 鹿角形態의 菌株 13, 14, 15, 16번의 子實體 esterase 패턴은 菌株間 변이가 없었다. 특히 이들은 鹿角形態菌株의 子實體 esterase 패턴과는 뚜렷이 구별이 됬다.

各菌株別 菌絲의 蛋白質 및 esterase LAP同位酵素 패턴을 관찰하였던 결과 esterase와 LAP에서 菌株間分類가 可能하였다. 특히 同一菌株에서도 子實體와 菌絲에서의 esterase 및 protein의 pattern이 매우 달랐다. 이는 양송이 *Agaricus bisporus*에서도 子實體와 菌絲의 電氣泳動에 따른蛋白質 pattern이 다르다는 보고(Paraniipe 등, 1979)와 일치된다. 따라서 버섯分類에서 菌株間의 同位酵素比較는 菌絲끼리 혹은 子實體끼리比較를 하여야 한다고思料된다.

菌絲에서도 鹿角形態의 菌株와 扁角形態의 菌株間에는 뚜렷한 차이가 있었으며 鹿角形態를 하였던 菌株間에는 변이가 없이同一한 패턴을 보였다. 그러나 扁角形態를 하였던 菌株間에는 변이가 다양하여 子實體의 esterase 패턴이同一하여 구별 할 수 없었던 菌株間의 구분도 가능하였다. 즉 3, 4, 5번 菌株도 각각 특징적인 形態를 보여 分類가 可能하였으며 6, 7, 8번 菌株間중에서 8번 菌株는 6, 7번 菌株와 다른 順序임을 알 수 있었다.

各菌株間 菌絲의 esterase와 LAP의 band에 의해서 유연관계를 구해본 결과 鹿角形態間에는 100%의 유연관계를 보여 수집장소가 다르다해도同一한 菌株임을 알았고 6번과 7번도 서로同一한 菌株임을 알았다.

이상의 結果에서 靈芝의 菌絲 esterase 同位酵素 패턴이 菌株間의 변이를 잘 나타내므로 이것을 靈芝의 系統分類의 特性으로 使用可能性이 있으리라思料된다.

摘要

靈芝버섯(*Ganoderma lucidum* (Fr.) Karst.)의 16개菌株間 特성을 電氣泳動法을 使用하여 蛋白質 pattern과 esterase, LAP의 同位酵素 pattern에 의해 比較 관찰하여 다음과 같은 결과를 얻었다.

1. 子實體의 esterase의 band pattern은 各菌株間 特定 band의 有·無와 位置 등에 의해 分類 할 수 있었으며 子實體의 形態가 유사한 것은 band pattern에서

도 유사하였다.

2. 同一菌株에서 扁角과 鹿角形態로 形成된 子實體의 esterase band pattern은 서로同一한 pattern을 보였다.

3. 菌株間 유연관계인 유사도 지수는 12.5%에서 100%의 변이 폭을 보였다. 특히 6과 7번의 두菌株間과 13, 14, 15, 16번의 4菌株間은 유사도지수가 100%이므로 遺傳的으로同一한菌이라思料된다.

4. 菌絲의 蛋白質과 esterase의 band pattern은 子實體의 pattern과는 달랐으며 子實體에서同一한 pattern을 보였던 菌株間에서도 菌株間 특성을 가장 잘 보여주었으므로 靈芝버섯分類에는 菌絲의 esterase pattern이 가장 적합하다.

論 壇

- Baptist, J.N., Shaw, C.R., and Mandel, M. (1969): Zone electrophoresis of enzymes in bacterial taxonomy. *J. Bacteriol.* 99:180-188.
- Gill, H.S. and Zentymen, G.A. (1978): Identification of *Phytophthora* species by disc electrophoresis. *Phytopathology* 68:163-167.
- Glynn, A.N. and Reid, J. (1969): Electrophoretic patterns of soluble fungal proteins and their possible use as taxonomic criteria in genus *Fusarium*. *Can. J. Botany* 47:1823-1831.
- Green, R.L., Dudeck, A.E., Hannash, L.C., and Smith, R.L. (1981): Isozyme polymorphism in *St. augustinagrass*. *Crop Sci.* 21:778-782.
- Hubby, J.L. and Lewontin, R.C. (1966): A molecular approach to the study of genetic heterozygosity in natural population. *Genetics* 54:557-594.
- Kahler, A.L., and Allard, R.W. (1970): Genetics of isozyme variant in barley. I. Esterase. *Crop Sci.* 10:444-448.
- Kim, Z.S. and Hong, Y.P. (1982): Genetic analysis of some polymorphic isozymes in *Pinus densiflora* (I). *J. Korean For. Soc.* 58:1-7.
- Kulik, K.M. and Brooks, A.G. (1970): Electrophoretic studies of soluble proteins from *Aspergillus* spp. *Mycologia* 62:365-376.
- Nakagahra, M., Akihama, T. and Hagashi, K.I. (1975): Genetic variation and geographic cline of esterase isozymes in native rice varieties. *Japan J.*

Park, Lee, Kim and Park: *Ganoderma lucidum* by Electrophoretic Patterns of Enzymes

Genetics 50:373-382.

Paranjpe, M.S. and Chen, P.K. (1979): Morphogenesis of *Agaricus bisporus*: Changes in proteins and enzyme activity. *Mycologia* 71:469-478.

Stegemann, H., Burgermeister, W., Francksen, H., and Krögererrecklenfort, M. (1985): Electrophoresis and focusing in slabs using the Panta-phor apparatus for analytical and preparative separation in gels.

Institut für Biochemie, Biologische Bundesanstalt,

Messeweg 11 D-3300 Braunschweig (West Germany).

Stout, D.L. and Shaw, C.R. (1974): Genetic distance among certain species of *Mucor*. *Mycologia* 66:967-977.

Woo, M.S. (1984): Symposium on *Ganoderma lucidum*. *Kor. J. Mycol.* 12:121-123.

⟨Received January 22, 1986;

Accepted February 26, 1986⟩